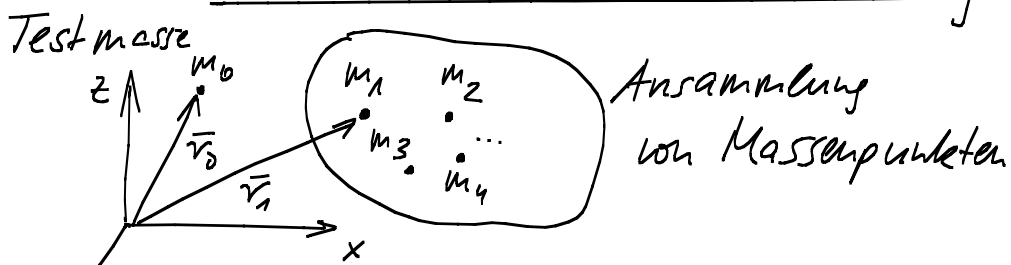


## 9. Gravitation ausgedehnter Körper

- Punktmassenannahme oft nicht präzise (z.B. für Erde-Mond oder Erde-Satellit)
- Dies ist leicht korrigierbar, da Kräfte (& damit die zugrundeliegenden Potentiale) additiv sind.  
 (Achtung: Dies ist nicht mehr korrekt in der ART, da dort Gleichungen für das Gravitationsfeld nicht linear sind. In der hier relevanten linearen Näherung spielt dies keine Rolle.)

### 9.1 Potential einer Massenverteilung



$$V(\vec{r}_0) = \sum_{a=1}^N \left( -\frac{m_a G_N}{|\vec{r}_0 - \vec{r}_a|} \right)$$

Übergang zum ausgedehnten Körper → Übergang zur Integration

$$V(\vec{r}_0) = \sum_{a=1}^N \left( -\frac{m_a G_N}{|\vec{r}_0 - \vec{r}_a|} \right) S(\vec{r}_a) \cdot \Delta V_a$$

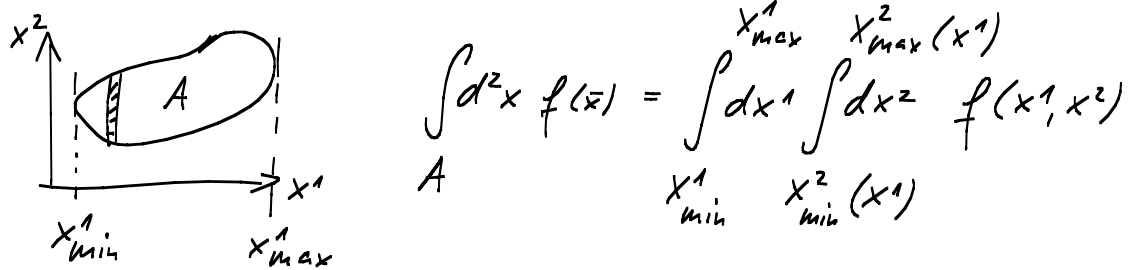
↓  
Zerlegung des Körpers in  
viele kleine Elemente, jeweils

$$V(\vec{r}_0) = -m_0 G_N \int \frac{d^3 r \, S(r)}{|\vec{r}_0 - \vec{r}|}$$

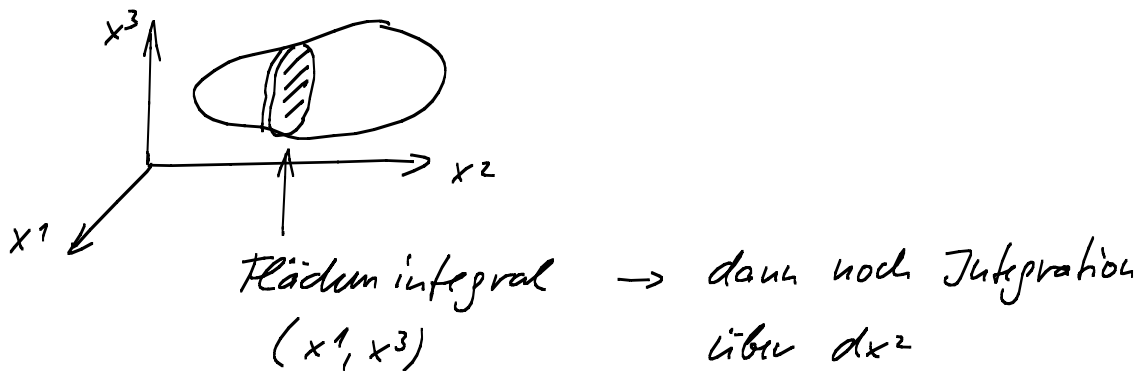
mit Masse  $m_a = S(\vec{r}_a) \Delta V_a$

Hier benutzen wir das anschaulich einfache aber evtl. technisch noch nicht gut vertraute Konzept des Volumenintegrals.

Nochmal zum Zurück zum Flächenintegral:



Volumenintegral geht im Prinzip analog:



In der Praxis ist es oft sehr hilfreich passende (zur Symmetrie des Problems passende) Koordinatensysteme zu benutzen:

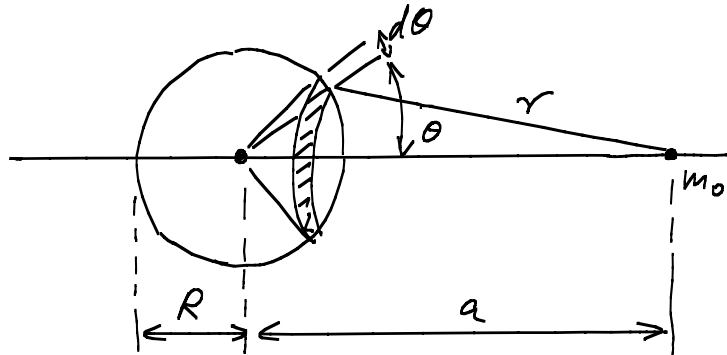
- z.B.  $\int d^2\bar{x} \dots$   $= \int_0^R dr \underbrace{\int r d\varphi}_{\text{Kreis mit Radius } r} \dots$

$$= \int_0^R dr r \int_0^\pi d\varphi \dots$$

- z.B.  $\int d^3\bar{x} \dots$   $= \int_0^R dr \underbrace{\int_0^\pi \dots}_{\text{Sphäre mit Radius } r}$  Man denke hier an "zwiebschalen"

$\Rightarrow$  Viel mehr in Übungen im kommenden Semester.

## 9.2 Gravitationspotential einer Kugelschale



Die Kugelschale sei dünn,  
mit Flächendichte  $S_F$   
(gemessen in  $\text{kg/m}^2$ )

- Wir müssen in diesem Fall ersetzen:  $\int d^3\vec{r} S(\vec{r}) \dots = \underbrace{\int d^2\vec{r}}_{\text{infinit. Oberfl.-elem.}} S_F(\vec{r}) \dots$
- Wir erinnern uns an Kugelkoord.  $(\rho, \theta, \varphi)$  und infinit. Oberfl.-elem.  
lassen  $\rho = R$  fest. Das infinit. Oberflächenelement ist offensichtlich  
 $d^2\vec{r} = (R d\theta) \cdot (R \sin\theta d\varphi)$  [siehe Bild;  $\varphi$  param. des schraffierten  
Ring; die Achse entspricht der früheren  
z-Achse]  
[Vgl. und  $\int_0^{2\pi} d\varphi d\theta \sin\theta = 2\pi \sin\theta d\theta$ ]
- Äquivalent & direkter:  $= d\Omega$  von Kap. 8.3]

$$dV = -m G_N \frac{dM}{r} = -m G_N \frac{S_F dA}{r} = -\frac{m G_N S_F}{r} \underbrace{(R d\theta)}_{\text{Breite}} \underbrace{(2\pi R \sin\theta)}_{\text{Radius}}$$

$$\begin{aligned} r &= \sqrt{(a - R \cos\theta)^2 + (R \sin\theta)^2} \\ &= \sqrt{a^2 + R^2 - 2aR \cos\theta} \end{aligned}$$

Breite Radius  
(des Ringes).

Einzige Integration:  $\theta$  von 0 bis  $\pi$ :

$$V = -m G_N S_F \cdot 2\pi R^2 \cdot \int_0^\pi \frac{d\theta \sin\theta}{\sqrt{A - B \cos\theta}} \quad \text{mit} \quad \begin{aligned} A &= a^2 + R^2 \\ B &= 2aR \end{aligned}$$

Ersatzung:  $\cos\theta = x$  ;  $-\sin\theta d\theta = dx$

$$\theta = 0 \Rightarrow x = 1 ; \quad \theta = \pi \Rightarrow x = -1$$

$$V = -m G_N S_F 2\pi R^2 \int_{-1}^1 \frac{-dx}{\sqrt{A - Bx}}$$

$$\left[ \int_{-1}^1 \frac{-dx}{\sqrt{A-Bx}} = - \frac{1}{(-B)} 2 \cdot \sqrt{A-Bx} \right]_1^{-1} = \frac{2}{B} (\sqrt{A+Bx} - \sqrt{A-Bx})$$

$$= \frac{2}{2aR} (\sqrt{a^2 + R^2 + 2aR} - \sqrt{a^2 + R^2 - 2aR}) = \frac{1}{aR} ((a+R) - (a-R)) = \frac{2}{a}$$

$$V = -m G_N S_F \frac{4\pi R^2}{a} = -m G_N \frac{AS_F}{a} = -\frac{G_N m M}{a}$$

Sehen so, als sei die Masse im Zentrum konzentriert.

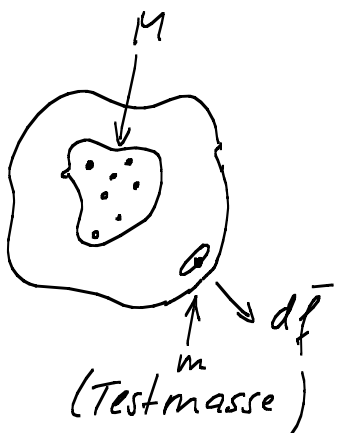
Analoge Reduktion zeigt: Im Inneren dieser Kugelkugel gibt es keine gravit. Kraft ( $V = \text{const.}$ )  
 $\rightarrow$  Lösungen

Einfache Konsequenz:

Das Potential eines sphärisch symmetrischen Körpers im Außenraum ist so, als sei die Masse im Zentrum konzentriert.  
 (Homogenität ist nicht erforderlich.)

### 9.3 Außenscher Satz für Gravitation

Zentrale Behauptung: Sei  $O$  eine Oberfläche, welche eine



Massenverteilung mit gesamtmasse  $M$  einschließt. Sei  $\bar{F}(x)$  die von dieser Massenverteilung auf eine Testmasse  $m$  ausgeübte kraft. Dann gilt:

$$M = -\frac{1}{4\pi G_N m} \int_O \bar{F} \cdot d\vec{r}$$

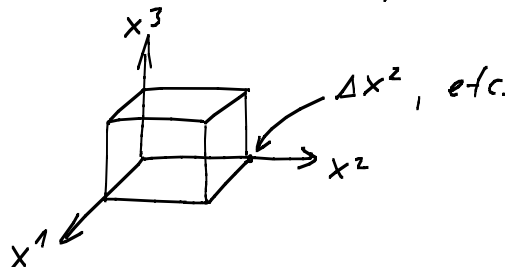
## M11 Divergenz und Gaußscher Satz

Betrachte Integrale  $I = \int d\vec{f} \cdot \vec{F}$  über die Oberfläche  $O$  eines 3-dim. Volumens  $V$ .



Wie bei Stokes, betrachten

wir zunächst ein kleines, besonders einfaches Volumen:



Wir können unser Integral in die Summe der Integrale über drei Paare entgegengesetzter Flächen:

$$I = \underbrace{\int dx^1 dx^2 F^3(x^1, x^2, \Delta x^3)}_{A_{\text{oben}}} + \underbrace{\int dx^1 dx^2 (-F^3(x^1, x^2, 0))}_{A_{\text{unten}}} + \dots$$

$I_1$

entsprechend  
vorn / hinten  
rechts / links

$$I_1 \approx \underbrace{\int dx^1 dx^2 \Delta x^3 \frac{\partial F^3}{\partial x^3}(x^1, x^2, 0)}_{A_{\text{unten}}} \quad I_2 + I_3$$

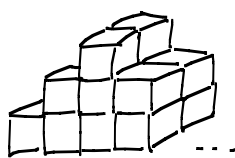
$$\approx \Delta x^1 \Delta x^2 \Delta x^3 \cdot \frac{\partial F^3}{\partial x^3} + O(\Delta^4) \quad \& \text{ analog f\"ur } I_2, I_3$$

$$\Rightarrow I = V \cdot \left( \frac{\partial F^1}{\partial x^1} + \frac{\partial F^2}{\partial x^2} + \frac{\partial F^3}{\partial x^3} \right) = V \cdot (\nabla \cdot \vec{F}) = V \cdot (\text{div } \vec{F})$$

Nun k\"onnen wir ein gro\es Volumen durch  
viele solcher kleiner Quadervolumina

↑  
Divergenz.

ZUSAMMENSCHENKEN:



Wir addieren alle  
entsprechenden flie\chen  
vom Typ  $I = V \cdot (\nabla \cdot \vec{F})$

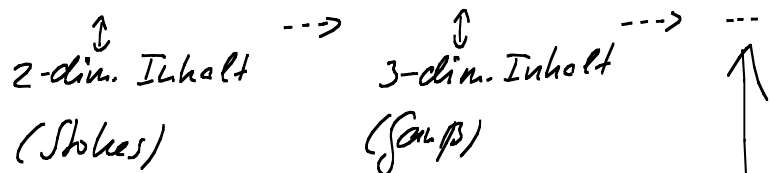
In der Summe aller I's haben sich die Beiträge der "inneren" (sich berührnden) Außenseiten weg  $\Rightarrow$  Nur die Oberfläche des totalen Volumens bleibt. Also haben wir

$$\int\limits_0 \! d\bar{f} \cdot \bar{F} = \int\limits_V \! d^3 r (\bar{\nabla} \cdot \bar{F}) \quad \text{Satz}$$

Erinnerung:

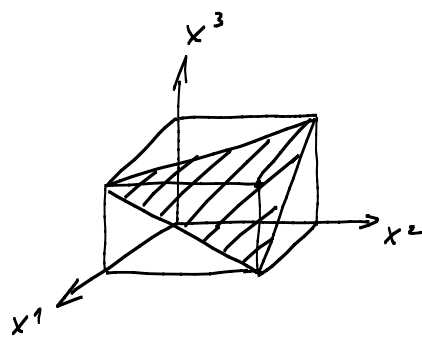
$$\oint\limits_A \! d\bar{s} \cdot \bar{F} = \int\limits_A \! d\bar{f} \cdot (\bar{\nabla} \times \bar{F}) \quad \text{Stokes}$$

Wir haben die Struktur: 1-dim.-Rand      2-dim.-Rand



In unserem Beweis gibt es aber immer noch ein Loh, das wir zumindest provisorisch stopfen wollen: Wir wollen (wie schon bei Stokes) die Oberfläche "plätzen":

Dazu:



Wir wollen, wie in diesem Bild angedeutet, von unserem "eckigen" Volumen solche "Ecken" abschneiden können, ohne einen Fehler von mehr als  $O(\Delta^3)$  zu machen.

Dies wird stimmen, falls

$$\bar{A}_{\text{schraffiert}} = \sum_{i=1}^3 \bar{A}_{\text{fehlendes Dreieck, } i},$$

was sich durch elementare Geometrie zeigen lässt.

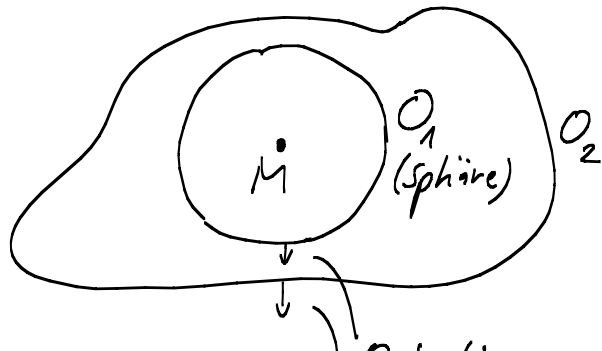
(Auch anschaulich klar: Summe der Flächenvektoren aller Außenflächen eines Körpers ist Null.)

"□"

Startpunkt: Punktmasse  $M$  am Ursprung.  $O$  sei Sphäre mit Radius  $R$  und Zentrum am Ursprung.

$$\begin{aligned} I = \int \bar{F} \cdot d\bar{f} &= \int_0^R \left( -\frac{G_N m M}{R^2} \bar{e}_r \right) \cdot (d\bar{f}) \bar{e}_r = -\frac{G_N m M}{R^2} \int_0^R |d\bar{f}| \\ &= -\frac{G_N m M}{R^2} \cdot 4\pi R^2 \\ M &= -\frac{I}{4\pi m G_N} \quad \Leftarrow \quad \checkmark \end{aligned}$$

Allgemeine Fläche:



$$I_{1,2} = \int_{O_1, O_2} \bar{F} d\bar{f}$$

$$I_2 - I_1 = \int_{O_2} \bar{F} d\bar{f} - \int_{O_1} \bar{F} d\bar{f} = \int_{O_2} \bar{F} d\bar{f} + \int_{\tilde{O}_1} \bar{F} d\bar{f}$$

$\uparrow$   
umgedreht orientiert

$$I_2 - I_1 = \int_{O_2 - O_1} \bar{F} d\bar{f}$$

"O<sub>2</sub> - O<sub>1</sub>"  $\leftarrow$  Oberfläche des "Zwischenraumes" zwischen O<sub>1</sub> und O<sub>2</sub>.

nach Satz:

$$I_2 - I_1 = \int_{\text{Vol}_2 - \text{Vol}_1} d(\text{Vol.}) \cdot \bar{\nabla} \bar{F} = - \int_{\text{Vol}_2 - \text{Vol}_1} d(\text{Vol.}) \bar{\nabla}^2 V$$

"Vol<sub>2</sub> - Vol<sub>1</sub>"                        "Vol<sub>2</sub> - Vol<sub>1</sub>"  
(Volumen des Zwischenraumes)

$\Rightarrow$  Unsere Eingangsbehauptung folgt für eine allg. M umgebende Fläche, falls  $\bar{\nabla}^2 V = 0$  im Zwischenraum.

Letzteres wollen wir jetzt nachprüfen:

### Berechnung von $\nabla^2 V$

- $V(\vec{r}) = -\frac{m M G_N}{r}$  mit  $\vec{r} = (x_1, x_2, x_3)$ ;  $r = \sqrt{x_1^2 + x_2^2 + x_3^2}$

- Wir können uns sofort auf  $\nabla^2(\frac{1}{r})$  konzentrieren:

$$\begin{aligned} (\nabla(\frac{1}{r}))_i &= \frac{\partial}{\partial x_i} \left( \frac{1}{r} \right) = \frac{\partial}{\partial x_i} \cdot \frac{1}{\sqrt{\sum_j x_j^2}} = -\frac{1}{2} \frac{2x_i}{\sqrt{\sum_j x_j^2}^3} = \\ &= -\frac{x_i}{r^3} = -\left(\frac{1}{r^3}\right)_i \end{aligned}$$

$$\begin{aligned} \nabla^2\left(\frac{1}{r}\right) &= \nabla \cdot \left( \nabla\left(\frac{1}{r}\right) \right) = \frac{\partial}{\partial x_i} \cdot \left( \nabla\left(\frac{1}{r}\right) \right)_i = \frac{\partial}{\partial x_i} \cdot \left( -\frac{x_i}{\sqrt{\sum_j x_j^2}^3} \right) = \\ &= - \left\{ \frac{3}{\sqrt{\sum_j x_j^2}^3} - \frac{3}{2} \cdot \frac{x_i \cdot 2x_i}{\sqrt{\sum_j x_j^2}^5} \right\} = - \left\{ \frac{3r^2}{r^5} - \frac{3r^2}{r^5} \right\} = 0 \end{aligned}$$

$\Rightarrow$  Also gilt in der Tat  $I_1 = I_2$  für 2 beliebige Flächen  $O_1$  und  $O_2$ , die eine Punktmasse  $M$  am Ursprung umgeben.

- Wegen Translationsinvarianz überträgt sich dies sofort auf Flächen, die eine Punktmasse beliebiger Position umgeben.

( $\int \vec{F} \cdot d\vec{f}$  ändert sich nicht, wenn Fläche und Massenpunkt  $O$  verschoben werden.)

$$\Rightarrow M = -\frac{1}{4\pi m G_N} \int_O \vec{F} \cdot d\vec{f} \quad \text{für bel. Fläche } O \text{ die eine bel. Pkt. Masse } M \text{ umgibt.}$$

- Wegen Linearität der Beziehung zwischen Masse & Kraft überträgt sich dies weiterhin sofort auf belieb. Massenverteilungen:

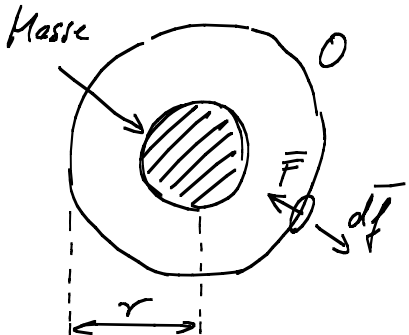


$$M_i = -\frac{1}{4\pi G_N m} \int_D \bar{F}_i \cdot d\bar{f}$$

$$M = \sum M_i = -\frac{1}{4\pi G_N m} \int_D (\sum_i \bar{F}_i) \cdot d\bar{f} = -\frac{1}{4\pi G_N m} \int_D \bar{F} \cdot d\bar{f}$$

Damit ist unsere eingangs gemachte Behauptung hergeleitet.

Einfache Anwendung: Kraft einer kugelsymmetrischen Massenverteilung:



- Aus Symmetriegründen ist  $|\bar{F}| = \text{const.}$  und  $\bar{F} \perp d\bar{f}$  auf  $\partial$ .
- Aus unserem "Theorem" folgt

$$M = -\frac{1}{4\pi G_N m} \int_D \bar{F} \cdot d\bar{f} = \frac{1}{4\pi G_N m} \cdot |\bar{F}| \cdot 4\pi r^2$$

$$\Rightarrow |\bar{F}| = \frac{m M G_N}{r^2} \quad ; \quad \bar{F} = -\frac{\vec{r}}{r} \cdot \frac{m M G_N}{r^2} .$$

$\Rightarrow$  Kraft ist exakt wie bei Punktmasse  $M$  im Zentrum.

(Konsistent mit unserer expliziten Rechnung für Potenzial unter 8.2)

### 9.4 Feldgleichung für das Gravitationspotenzial

• Wir wissen:  $\int_D \bar{F} \cdot d\bar{f} = - (4\pi G_N m) \cdot M$

$\downarrow$  Saub

$$\int_{\text{Vol.}} (\nabla \bar{F}) \cdot d(\text{Vol.}) = - (4\pi G_N m) \cdot \int_{\text{Vol.}} S d(\text{Vol.})$$

- Da dies für beliebige (also speziell auch für sehr kleine) Volumina gilt, können wir das Integralzeichen weglassen:

$$\bar{\nabla} \cdot \bar{F} = - 4\pi G_N m S$$

bzw.  $\bar{\nabla}^2 V = 4\pi G_N m S$ .

- Es ist oft nützlich, ein von der Testmasse  $m$  unabhängiger "Gravitationspotential"  $\phi$  zu definieren:  $\phi = \frac{1}{m} \cdot V$ .

Für dieses gilt dann:

$$\boxed{\bar{\nabla}^2 \phi = 4\pi G_N S}$$

Laplace-Operator  $\Delta$

Poisson'sche (ohne  $S$ : Laplace'sche) Differentialgleichung

- Man sagt: " $S$  ist Quelle für das Gravitationspotential  $\phi$ ".
- Bewegung einer Testmasse:  $m \ddot{x} = \bar{F} = -\bar{\nabla} V \Rightarrow \ddot{x} = -\bar{\nabla} \phi$
- Derartige (partielle) Dgl.-en werden viel ausführlicher in E-Dynamik besprochen.
- $\bar{\nabla}^2 \phi = 4\pi G_N S$  ist konsistent mit der obigen Aussage  $\bar{\nabla}^2 V = 0$  (bzw.  $\bar{\nabla}^2 \phi = 0$ ) für Punktmasse. (Natürlich nur für  $r \neq 0$ , also in einer gewissen Entfernung von der Pkt. Masse. Bei  $r=0$  ist  $\bar{\nabla}^2(\frac{1}{r})$  nicht definiert!) (Verallgemeinerung zu "alle Körper fallen gleichschnell")